

РЕНТГЕНОСТРУКТУРНОЕ КАРТИРОВАНИЕ
В ГЕТЕРОЦИКЛИЧЕСКОМ ДИЗАЙНЕ. 10. РЕНТГЕНОСТРУКТУРНОЕ
ИССЛЕДОВАНИЕ 4-МЕТИЛ-6,7,8,9-ТЕТРАГИДРОХИНОЛОНА-2

© 2003 г. Д. В. Альбов, В. Б. Рыбаков, Е. В. Бабаев, Л. А. Асланов

Московский государственный университет им. М.В. Ломоносова

E-mail: albov@biocryst.phys.msu.su

Поступила в редакцию 18.11.2002 г.

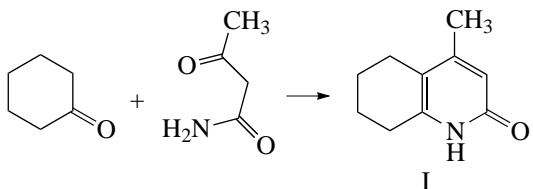
Методом монокристальной дифракции исследована структура 4-метил-6,7,8,9-тетрагидрохинолона-2. Структура ($a = 6.6890(17)$, $b = 7.926(2)$, $c = 8.993(3)$ Å, $\alpha = 85.50(2)$, $\beta = 68.22(2)^\circ$, $\gamma = 82.89(2)^\circ$, $Z = 2$, пр. гр. $P\bar{1}$) определена прямыми методами и уточнена до $R_1 = 0.0592$ и $wR_2 = 0.1206$. В кристалле отмечено существование межмолекулярных водородных связей, объединяющих молекулы в центросимметричные димеры.

ВВЕДЕНИЕ

Данная работа является продолжением проводимых структурных исследований гетероциклических соединений, обладающих способностью вступать в различные перегруппировки, в том числе и реакции циклизации [1–10]. Как и в предыдущих сообщениях, мы последовательно изучаем методом рентгеноструктурного анализа строение всех интермедиатов и конечных продуктов многоступенчатых реакций циклизаций и перегруппировок. В частности, замещенные пиридоны характеризуются множественной реакционной способностью и являются интересным объектом для такого рода исследований. В настоящей работе мы изучили строение 4-метил-6,7,8,9-тетрагидрохинолона-2. Данные о строении молекул в кристаллах указанного соединения в Кембриджском банке структурных данных (версия 04.02) [11] отсутствуют.

ЭКСПЕРИМЕНТАЛЬНАЯ ЧАСТЬ

Синтез 4-метил-6,7,8,9-тетрагидрохинолона-2 (I) выполнен по методике [12]:



Спектр ПМР записан на спектрометре GEMINI 200, напряженность поля 1.4 Тл (200.14 МГц для протонов). Отнесение сигналов в спектре ПМР проведено с учетом литературных данных: (δ , м.д., $\text{DMSO}-d_6$, внутренний стандарт ТМС): 6.30 м. (H3), 2.10 д. (CH_3).

Экспериментальные интенсивности дифракционных отражений получены при комнатной температуре на дифрактометре CAD-4 [13] (Мо- K_α -излучение, графитовый монохроматор, ω -сканирование). Параметры элементарной ячейки определяли и уточняли по 25 рефлексам в интервале углов θ 13° – 15° . Основные параметры эксперимента и кристаллографические характеристики I приведены в табл. 1.

Поскольку кристаллы исследованного соединения имеют низкие линейные коэффициенты поглощения и малые размеры, поправка на поглощение не вводилась. Первичная обработка массива экспериментальных данных проводилась по комплексу программ WinGX98 [14]. Все последующие расчеты выполнялись в рамках комплекса программ SHELLX97 [15]. Кристаллическая структура определена прямыми методами с последующим уточнением позиционных и тепловых параметров в анизотропном приближении для всех неводородных атомов. Атомы водорода выявлены разностным синтезом и уточнены в изотропном приближении. Межатомные расстояния и валентные углы систематизированы в табл. 2 и 3 соответственно. В табл. 4 приведены параметры межатомных контактов с участием атомов водорода. Кристаллографическая информация для соединения I депонирована в Кембриджской базе структурных данных (депонент № 000000). Пространственное расположение атомов в молекуле I и их нумерация показаны на рисунке, полученном с использованием программы PLUTON96 [16].

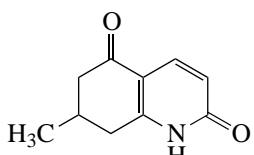
РЕЗУЛЬТАТЫ И ИХ ОБСУЖДЕНИЕ

В молекуле I шестичленный цикл $\text{N}(1)\text{C}(2)\text{C}(3)\text{C}(4)\text{C}(5)\text{C}(10)$ плоский с точностью

Таблица 1. Кристаллографические характеристики, детали рентгенодифракционного эксперимента и уточнения структуры I

Соединение	$C_{10}H_{13}NO$
Молекулярный вес	163.21
Сингония	Триклинная
Пространственная группа	$P\bar{1}$
a , Å	6.6890(17)
b , Å	7.926(2)
c , Å	8.993(3)
α , град	85.50(2)
β , град	68.22(2)
γ , град	82.89(2)
V , Å ³	439.1(2)
Z	2
$\rho_{\text{выч.}}$, г/см ³	1.235
$\mu(MoK_\alpha)$, см ⁻¹	0.080
Размер кристалла, мм	0.30 × 0.30 × 0.30
θ_{max} , град.	26
Число рефлексов с $I \geq 2\sigma(I)$ /число параметров	1618/162
R_1/wR_2	0.0592/0.1206
$\Delta\rho_{\text{max}}/\Delta\rho_{\text{min}}$, э/Å ³	0.203/-0.141

до 0.014 Å. Атомы O(2), C(6), C(9) и C(11) лежат в плоскости этого цикла. Атомы C(7) и C(8) отклоняются от этой плоскости на -0.236 и 0.425 Å соответственно. В кристалле I обнаружены межмолекулярные водородные связи, за счет которых образуются центросимметричные молекулярные димеры (рисунок и табл. 4). В Кембриджском банке структурных данных (версия 04.02) [11] найдено соединение II с похожей структурой – 7,8-дигидро-7-метил-2,5(1Н, 6Н)-хинолин-2,5-дион [17]:



II

В обеих структурах эллипсоиды тепловых колебаний атомов C(7) и C(8) (в одинаковой нумерации, см. рисунок) вытянуты практически перпендикулярно плоскости гетероциклической системы, вследствие чего расстояние между атомами C(7) и C(8) существенно короче (1.451(2) Å) расстояний C(5)–C(6), C(6)–C(7), C(8)–C(9) и C(9)–C(10) (табл. 2), однако с учетом сильной анизотропии тепловых поправок [18], это расстояние составляет 1.58 Å, что соответствует sp^3 -гибридизации. Строение гетероциклического фрагмента бицикла в молекулах I и II отвечает ожидаемому пиридоновому, а не пиридольному типу таутомерии.

Таблица 2. Длины связей между неводородными атомами d (Å) в структуре I

Связь	d
N(1)–C(2)	1.3541(16)
N(1)–C(10)	1.3830(18)
C(2)–O(2)	1.2578(17)
C(2)–C(3)	1.4107(18)
C(3)–C(4)	1.374(2)
C(4)–C(5)	1.4172(18)
C(4)–C(11)	1.5122(18)
C(5)–C(10)	1.3541(17)
C(5)–C(6)	1.514(2)
C(6)–C(7)	1.503(2)
C(7)–C(8)	1.451(2)
C(8)–C(9)	1.509(2)
C(9)–C(10)	1.4754(18)

Таблица 3. Валентные углы с участием неводородных атомов ω (град) в структуре I

Угол	ω
C(2)–N(1)–C(10)	125.10(10)
O(2)–C(2)–N(1)	120.04(11)
O(2)–C(2)–C(3)	124.34(12)
N(1)–C(2)–C(3)	115.61(13)
C(4)–C(3)–C(2)	121.00(12)
C(3)–C(4)–C(5)	120.58(11)
C(3)–C(4)–C(11)	118.99(12)
C(5)–C(4)–C(11)	120.43(13)
C(10)–C(5)–C(4)	118.52(13)
C(10)–C(5)–C(6)	119.81(11)
C(4)–C(5)–C(6)	121.65(11)
C(7)–C(6)–C(5)	113.50(12)
C(8)–C(7)–C(6)	114.38(16)
C(7)–C(8)–C(9)	112.60(13)
C(10)–C(9)–C(8)	111.96(12)
C(5)–C(10)–N(1)	119.14(11)
C(5)–C(10)–C(9)	125.08(13)
N(1)–C(10)–C(9)	115.78(11)

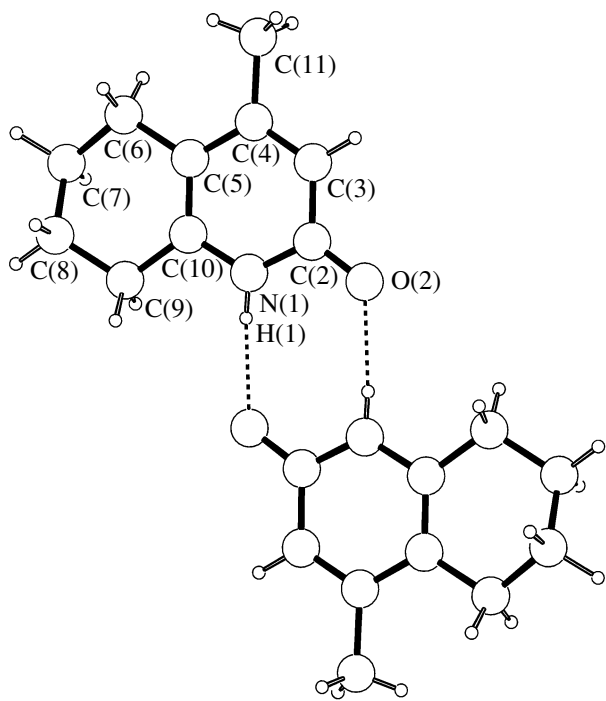
Таблица 4. Параметры межатомных контактов в структуре I

D–H	d(D–H)	d(D···A)	d(H···A)	ωDHA	A	(операции симметрии)
N(1)–H(1)	0.82(1)	2.772(1)	1.96(1)	174(1)	O(2)	(2–x; 1–y; 1–z)
C(7)–H(7A)	1.07(2)	3.515(2)	2.66(2)	137(1)	O(2)	(1–x; 1–y; 1–z)
C(8)–H(8B)	0.99(2)	3.536(2)	2.58(2)	163(1)	O(2)	(x; y; z–1)
C(11)–H(11C)	0.89(2)	3.547(2)	2.81(2)	141(2)	O(2)	(x–1; y; z)

Примечание. D – атом-донор; A – атом-акцептор; H – атом водорода; расстояния d, Å; угол ω , град.

Сочленение в молекуле I циклогексенового и пиридонового фрагментов по двойной связи C(5)–C(10) приводит к слабому сокращению длины этой связи (1.354 Å) в сравнении с длиной другой двойной связи C(3)–C(4) (1.374 Å), т.е. карбоциклический фрагмент слегка сжимает связь в примыкающем гетероцикле. Заметим, что геометрия окружения мостиковой двойной связи C(5)–C(10) бицикла атомами C(4), C(6), C(9) и N(1) асимметрична: внешний плоский угол C(6)–C(5)–C(4) составляет 121.7°, тогда как величина угла C(9)–C(10)–N(1) – всего 115.8°. В итоге метиленовый фрагмент C(9)H₂ располагается достаточно близко к атому азота. Этот факт следует учитывать при анализе реакционной способности молекулы I, например, в реакциях алкилирования атом азота N(1) может значительно экранироваться метиленовым звеном C(9).

В дальнейшем будет проведено исследование реакционной способности соединения I и рентгеноструктурный анализ полученных продуктов.



Нумерация атомов, пространственное строение молекулы и образование центросимметричного димера в структуре I.

Авторы выражают благодарность Российскому фонду фундаментальных исследований за финансовую поддержку в оплате лицензии на пользование Кембриджским банком структурных данных (грант № 99-07-90133).

СПИСОК ЛИТЕРАТУРЫ

- Рыбаков В.Б., Жуков С.Г., Бабаев Е.В. и др. // Кристаллография. 1999. Т. 44. № 6. С. 1067.
- Рыбаков В.Б., Жуков С.Г., Бабаев Е.В. и др. // Кристаллография. 2000. Т. 45. № 1. С. 108.
- Рыбаков В.Б., Жуков С.Г., Бабаев Е.В. и др. // Кристаллография. 2000. Т. 45. № 2. С. 292.
- Рыбаков В.Б., Жуков С.Г., Пасичниченко К.Ю., Бабаев Е.В. // Координат. химия. 2000. Т. 26. № 9. С. 714.
- Рыбаков В.Б., Жуков С.Г., Бабаев Е.В., Зонневельд Э. // Кристаллография. 2001. Т. 46. № 3. С. 435.
- Рыбаков В.Б., Троинов С.И., Бабаев Е.В. и др. // Кристаллография. 2001. Т. 46. № 5. С. 1069.
- Рыбаков В.Б., Бабаев Е.В., Пасичниченко К.Ю., Зонневельд Э. // Кристаллография. 2002. Т. 47. № 1. С. 76.
- Рыбаков В.Б., Бабаев Е.В., Чернышев В.В. // Кристаллография. 2002. Т. 47. № 3. С. 473.
- Рыбаков В.Б., Бабаев Е.В., Пасичниченко К.Ю. // Кристаллография. 2002. Т. 47. № 4. С. 678.
- Рыбаков В.Б., Бабаев Е.В., Цисевич А.А. и др. // Кристаллография. 2002. Т. 47. № 6. С. 1042.
- Allen F.H., Kennard O. // Chem. Design Autom. News. 1993. V. 8. № 1. P. 589.
- Kato T., Sato M., Noda M., Itoh T. // Chem. Pharm. Bull. 1980. V. 28. P. 2244.
- Enraf-Nonius CAD-4 Software. Version 5.0. Enraf-Nonius, Delft, Netherlands, 1989.
- Farrugia L.J. WinGX98. X-Ray Crystallographic Programs for Windows. University of Glasgow, U.K., 1998.
- Sheldrick G.M. SHELX97. Program for the Solution and Refinement of Crystal Structures. University of Göttingen, Germany, 1997.
- Spek A.L. PLUTON96. Molecular Graphics Program. University of Utrecht, Netherlands, 1996.
- Dorigo P., Gaion R.M., Fraccarollo D. et al. // J. Med. Chem. 1993. V. 36. P. 2475.
- Busing W.R., Levy H.A. // Acta Cryst. 1964. V. 17. P. 142.